

群馬高専 正員 平田恭久

## 1. まえがき

通常の最適化手法は連続量を基本にしているので、得られた最適解は連続量最適解である。これに対し、実際の設計寸法は板厚、板幅など離散量として扱われているのが普通である。このため、①離散量として最適化を行う、②連続量最適解から離散量最適解を求める、などの対策が必要になる。ここでは、連続量最適解が得られている場合が多いことを考慮して上記②に着目するが、問題を単純化するため連続量最適解を囲む離散点枠を考える。連続量最適解を出発点とする離散化は、活性制約面上を離散点枠に向かって移動していくが、これは通常の探索とは逆の動きになり、目的関数の増加がなるべく小さい方向を見つけることになる。活性制約面上での移動には、等式制約法で用いているタブローでの書き出しを利用するが、このタブローは離散解の改善にも有効である。

## 2. 离散点制約式と活性制約面

最適化問題は式(1)であり、これより得られた連続量最適解 $\mathbf{x}^*$ に対する離散点制約式は式(2)になるが、 $\mathbf{x}_u$ は $\mathbf{x}^*$ を囲む上限離散点、 $\mathbf{x}_s$ は下限離散点であり、上限と下限の差は式(3)△ $\mathbf{x}$ になる。 $\mathbf{x}$ をn次元とするとき、 $\mathbf{x}_u, \mathbf{x}_s$ で形成するn次元立方体を離散点枠と称しているが、この離散点枠の内部に $\mathbf{x}^*$ は存在している。一方では、 $\mathbf{x}^*$ は通常の制約式 $g$ が形成する活性制約面 $g_m$ 上に存在するので、離散点枠と $g_m$ を組み合わせると図-1のようになる。

図-1は3次元であり、 $g_m^T = [g_1, g_2]$ なので従属変数 $\mathbf{x}_m$ は2次元、独立変数 $\mathbf{x}_s$ は1次元になる。 $\mathbf{x}^*$ での目的関数 $f$ の接平面を $f$ 接平面と称するが、① $g_m$ の非線形性が強くない、②離散点間隔△ $x$ が大きくない、と仮定すれば、 $g_m$ 方向( $\mathbf{x}_s$ 方向)では $f$ 接平面と $g_m$ との離れは小さい。よって、 $g_m$ 上では近似的に $f$ 一定とみなせるので、 $\mathbf{x}_s$ 方向には近接離散点( $g_m$ の非線形性を考慮したときの $f$ の増加をなるべく小さくするため)へ移動すればよく、 $\mathbf{x}_k$ 点から近接離散点へ向く方向 $d_s$ は式(4)で表される。

$d_s$ 方向の移動により $\mathbf{x}_s$ が離散点制約式に抵触し、 $\mathbf{x}_{s,j} = \mathbf{x}_{us,j}$ または $\mathbf{x}_{s,j} = \mathbf{x}_{rs,j}$ に固定されたら、次に $\mathbf{x}_m$ についての移動は、 $g_m$ から離れて活性制約面上を離散点に向かって移動する(図-1では $\mathbf{x}_k$ から矢印の方向)。このためには、ある $g_i$ を $g_m$ から削除して $\mathbf{x}_m$ から自由度のある変数 $\mathbf{x}_j$ を作り、この $\mathbf{x}_j$ を離散化する。このときの $g_i$ と $\mathbf{x}_j$ をどのように選択するかが問題となるが、選択基準は式(5)、式(6)とする。式(5)は $g_i$ を削除した $g_m$ 上を離散点枠に向かって進むとき、 $f$ の増加が最も小さい方向を選ぶものであり、△ $x_{d,j}$ はそのときの $\mathbf{x}_m$ の変化である。

## 3. 离散化とタブロー利用

等式制約法では、式(1)についての活性制約式 $g_m$ とその

$$\min f(\mathbf{x})$$

$$\text{subject to } g(\mathbf{x}) \leq 0 \quad \} \quad (1)$$

$$g_u = \mathbf{x}^* - \mathbf{x}_u \leq 0 \quad \} \quad (2)$$

$$g_s = \mathbf{x}_s - \mathbf{x}^* \leq 0 \quad \} \quad (3)$$

$$\Delta \mathbf{x} = \mathbf{x}_u - \mathbf{x}_s \quad \dots \dots \quad (3)$$

$$d_{s,j} = \mathbf{x}_{us,j} - \mathbf{x}_{ks,j} \quad \} \quad \dots \dots \quad (4)$$

$$\text{または } \mathbf{x}_{rs,j} - \mathbf{x}_{ks,j} \quad \} \quad \dots \dots \quad (4)$$

$$\text{の絶対値の小さい方} \quad \} \quad \dots \dots \quad (4)$$

$$g_m \text{から削除するのは} \quad \} \quad \dots \dots \quad (4)$$

$$\Delta f_i = \lambda_i \Sigma - \nabla g_{i,j} \cdot \Delta x d_j \quad \} \quad \dots \dots \quad (5)$$

$$\text{の最も小さい } g_i \quad \} \quad \dots \dots \quad (5)$$

$$\dots \dots \quad (5)$$

$$\mathbf{x}_m \text{から削除するのは} \quad \} \quad \dots \dots \quad (6)$$

$$\text{式(5) } g_i \text{ の書き出し行の } x_j \quad \} \quad \dots \dots \quad (6)$$

$$\dots \dots \quad (6)$$

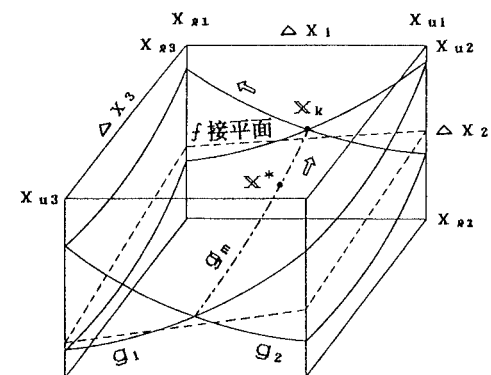


図-1 離散点枠と活性制約面

従属変数  $x_m$  をシンプレックス・タブローの書き出しで求めているので、連続量最適解から離散量最適解を得る場合にもこのタブローを利用することにした。離散化では、式(1)の通常制約式  $g$  と共に離散点制約式

	$f$	$g_m$	$g_{r-m}$	$g_u$	$g_s$	$(dx)$	
$g$	$f^*$	$\mathbb{O}_m^T$	$-g_{r-m}^T$	$-g_{um}^T$	$-g_{us}^T$	$-g_{sr}^T$	
$x_m$	$\lambda_m$	$I_m$	$B$	$-D$	$0$	$D$	$0$
$x_s$	$\nabla_s L$	$0$	$C$	$-E$	$-I_s$	$E$	$I_s$
				1~r個	1~n個	$\mathbb{O}_m^T$	$\mathbb{O}_s^T$
						$dx$	
							1~n個

	$f$	$g_m$	$g_{r-m}$	$g_u$	$g_s$	$(dx)$	
$g$	$f^* + \nabla f$	$-g_m^T$	$-g_{r-m}^T$	$\mathbb{O}_m^T$	$\Delta x_m^T$	$\mathbb{O}_s^T$	$\Delta x_s^T$
$x_{mu}$	$-\nabla_m f_u$	$\nabla_m g_{mu}^T$	$\nabla_m g_{r-mu}^T$	$I_{mu}$	$0$	$0$	$0$
$x_{mr}$	$\nabla_m f_s$	$-\nabla_m g_{mr}^T$	$-\nabla_m g_{r-mr}^T$	$0$	$-I_{mr}$	$0$	$0$
$x_{su}$	$-\nabla_s f_u$	$\nabla_s g_{mu}^T$	$\nabla_s g_{r-mu}^T$	$0$	$0$	$I_{su}$	$0$
$x_{sr}$	$\nabla_s f_s$	$-\nabla_s g_{mr}^T$	$-\nabla_s g_{r-mr}^T$	$0$	$0$	$0$	$-I_{sr}$
						$dx_{mu}^T$	$dx_{mr}^T$
						$dx_{su}^T$	$dx_{sr}^T$

通常制約式  $g$ 離散点制約式  $g_u$ 離散点制約式  $g_s$ 

図-3 タブロー(離散化)

$g_u$ ,  $g_s$  も満足する必要があるので、タブローに  $g_u$ ,  $g_s$  を付加した。タブローの  $g_s$  列と  $dx$  列は同じになるので、両者を合わせて一つにしている。図-2は  $x^*$  で活性制約面を書き出した状態を示している。

$x_s$ ,  $x_m$  を活性制約面上で離散点枠まで移動させるには、図-2のタブローで離散点制約式について  $-g_u = \mathbb{O}$  または  $-g_s = \mathbb{O}$  とする書き出しを実行すればよい。タブローの書き出しを用いる利点は、④  $g$ ,  $g_u$ ,  $g_s$  に抵触したときの処理、②活性制約面の非線形性の考慮、が可能であることである。すべての変数  $x_j$  について離散化が終了すると図-3のタブローになるが、 $g_u$  側または  $g_s$  側に書き出したことを区別するため  $u$  と  $s$  に分けており、正の  $I$  が書き出しでの軸要素である。微分  $\nabla f$ ,  $\nabla g$  は  $x^*$  での値であり、 $x^*$  から離散解に移動したことにより  $f$ ,  $g$  は変化し、目的関数は  $f^*$  から  $f^* + \nabla f$  へと増加する。

#### 4. 离散解の改善

上記3. の離散化より得られた離散解は  $g$  に抵触していないことから許容離散解であるが、まだ改善の余地が残っている。一つは活性離散解への移動であり、図-3の①点の場合、②点または③点への移動で  $f$  は改善される。②点等は直接的な移動では  $g$  に抵触し  $f$  は改善されないので、活性離散解と称している。活性離散解は図-3タブローで  $g_u$  側に書き出された  $x_j$  を、 $g$  に抵触しないで  $g_s$  側に書き出せるかを試行することより得られる。

②点、③点は共に活性離散解であるが、③点の方が  $f$  が小さい。②点から③点へ移動するには  $\Delta x_{s1}$  と  $\Delta x_{m2}$  の交換が必要になるが、これがもう一つの改善である。これは厳密には組み合わせ問題を解くことになるので、簡単な方法で  $f$  が少しでも改善されることを考える。 $g$  を抵触する側で移動する方法(図-4の矢印)が一つの案である。

#### 5. まとめ

ここで述べた方法は、①離散量最適解も活性制約面に依存していることから出発し、②離散量として最適化を行うことから生じる難しさを避け、③通常得られている連続量最適解との関係を明らかにする、ことを基本にしている。また、離散化には等式制約法で用いているタブローでの書き出しを利用している所に特色がある。しかしながら、厳密な離散量最適解を得るものではなく、個々のアルゴリズムにもまだ未熟な点が多いのが現状である。今後はアルゴリズム改善に努め、効率的な離散量最適化手法に発展させたい。

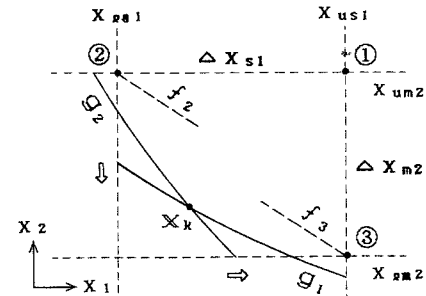


図-4 離散解の改善